

Responsable: ESCOFFIER Florian

Date : 05/05/2020 Page : 1/10 Clé : V3.03.146 Révision

Révision 86ffa435e42b

SSLS146 - Calcul de ferraillage sur un bâtiment complet

Résumé:

L'objectif de ce test est de valider la nouvelle macro commande COMBINAISON_FERRAILLAGE, qui calcule la densité de ferraillage dimensionnante entre plusieurs cas de chargement. Le calcul est effectué sur un bâtiment complet.

Date: 05/05/2020 Page: 2/10 Révision Responsable: ESCOFFIER Florian Clé: V3.03.146

86ffa435e42b

Problème de référence

1.1 Géométrie

La structure utilisée est décrite en [1]. Les renforcements horizontaux sont réalisés avec des voiles planes. Le modèle a été crée à partir d'une géométrie BIM.

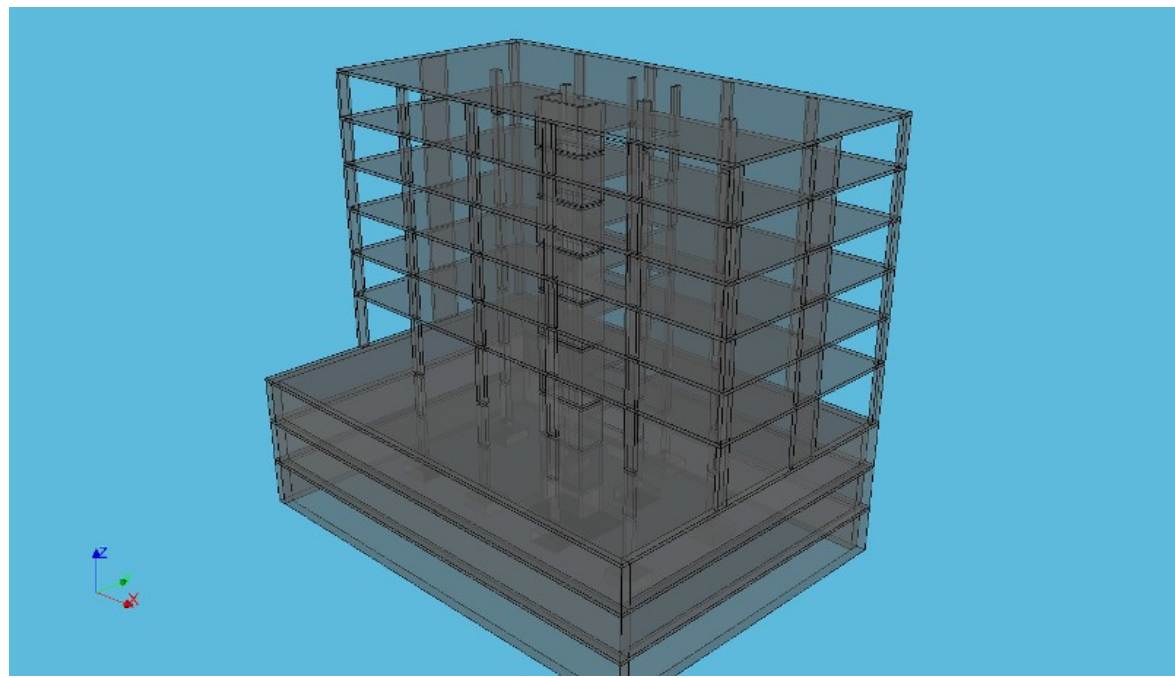


Figure 1: Géométrie BIM de la structure

Responsable : ESCOFFIER Florian

Date : 05/05/2020 Page : 3/10 Clé : V3.03.146 Révision

86ffa435e42b

Sur cette base, on obtient une géométrie adaptée pour un calcul aux éléments finis (Figure 2 : Géométrie avec éléments de structure 1D et 2D).

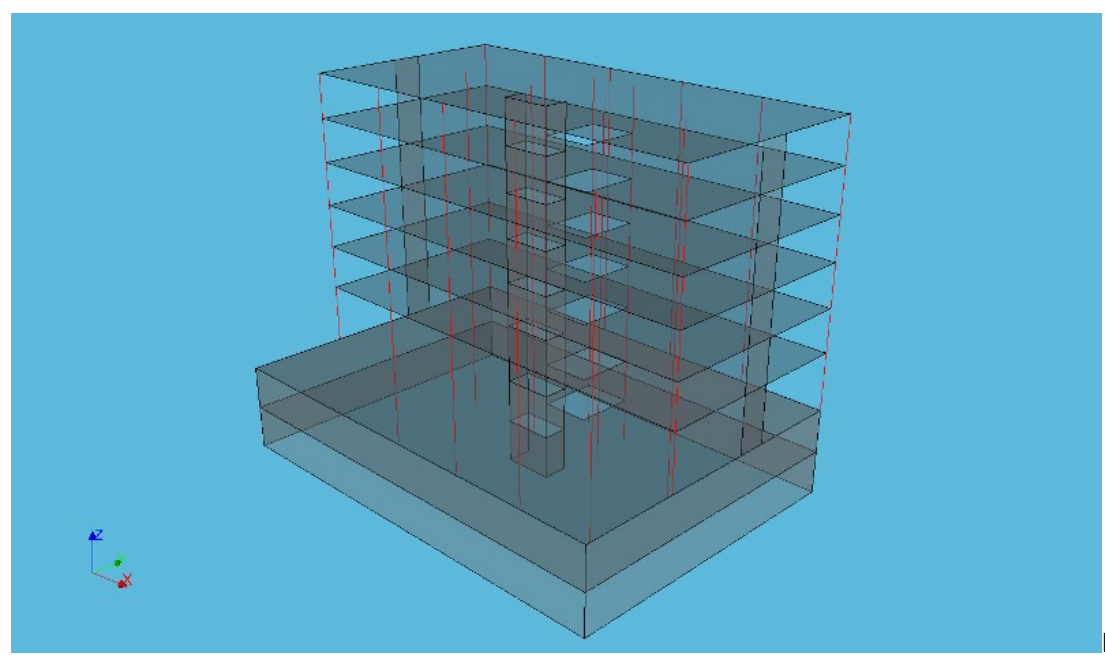


Figure 2:

Géométrie de la structure avec éléments de structure 2D et 1D.

1.2 Propriétés du matériau

Le matériau est élastique isotrope dont les propriétés sont :

- E = 30000 MPa
- v = 0.3

Les propriétés matériau nécessaires au calcul du ferraillage sont les suivantes (calcul effectué à l'ELU fondamental) :

- Module d'élasticité de l'acier : $E_s = 210000 MPa$
- Enrobages inférieur et supérieur : $c_{inf} = c_{sup} = 4 cm$
- Résistance caractéristique à la compression du béton : f_{ck} =35 MPa
- Limite élastique de l'acier (valeur caractéristique) : $f_{vk} = 450 \, MPa$
- Coefficient de sécurité de l'acier (ELU fondamental) $y_s = 1.15$
- Coefficient de sécurité du béton (ELU fondamental) : $y_b = 1.5$

1.3 Conditions aux limites et chargements

Les voiles du groupe BOUNDARY_WALL ont été bloquées en déplacement : DX = DY = DZ = 0 (Figure 4.).

Les poteaux du groupe BOUNDARY_COLUMNS ont été encastrés : DX = DY = DZ = DRX = DRY = DRZ = 0 (Figure 3.).

Le chargement appliqué est le poids propre des planchers (groupes "GrSLAB...") en utilisant FORCE_COQUE et en considérant toujours la même épaisseur.

Responsable : ESCOFFIER Florian

Date : 05/05/2020 Page : 4/10 Clé : V3.03.146 Révision

86ffa435e42b

Chaque étage à été calculé séparément pour générer une combinaison qui n'excite qu'un seul plancher à la fois.

BOUNDARY_COLUMNS

BOUNDARY_WALL

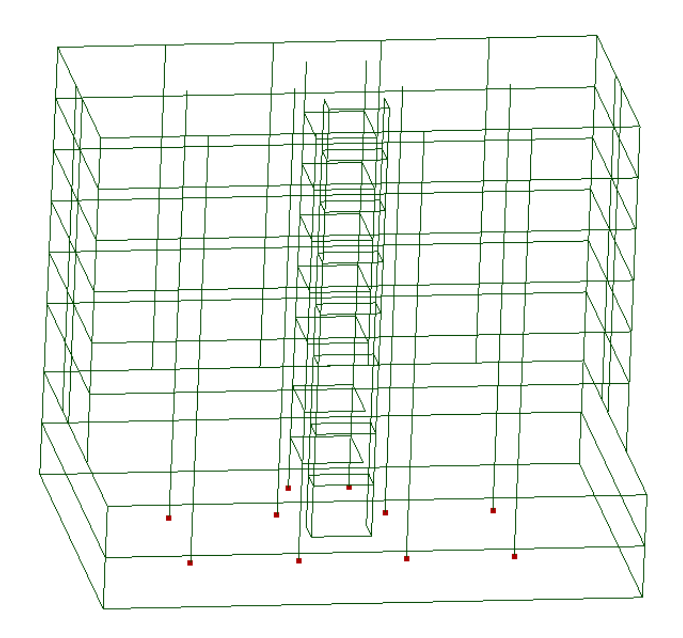


Figure 3: Encastrement des poteaux (groupe BOUNDARY_COLUMNS)

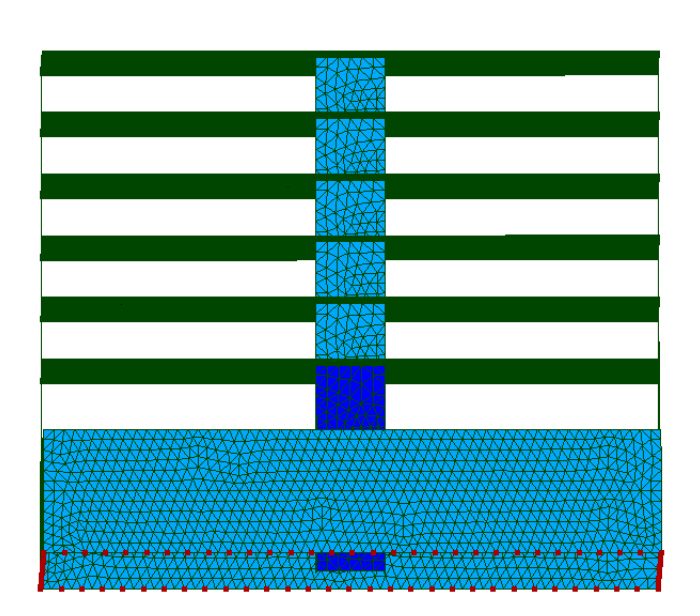


Figure 4: Blocage des voiles (groupe BOUNDARY_WALL)

1.4 Conditions initiales

La structure est initialement au repos.

Responsable : ESCOFFIER Florian

Date : 05/05/2020 Page : 5/10 Clé : V3.03.146 Révision

86ffa435e42b

2 Solution de référence

2.1 Méthode de calcul

Létude utilise indirectement CALC_FERRAILLAGE, qui exploite la méthode de calcul de densité d'armatures décrite par [2].

2.2 Grandeurs et résultats de référence

Propriétés des éléments surfaciques :

- Planchers, groupe GrGeomSLAB 21 : épaisseur 21 cm
- Voiles, groupe GrGeomWALL 60: épaisseur 60 cm
- Voiles, groupe GrGeomWALL_25 : épaisseur 25 cm

Propriétés des éléments linéiques :

- Poteaux, groupe GrGeomCOLUMN 25 70, section rectangulaire: 25x70 cm
- Poteaux, groupe GrGeomCOLUMN 25 50, section rectangulaire: 25x50 cm
- Poteaux, groupe GrGeomCOLUMN 50 50, section rectangulaire: 50x50 cm

2.3 Incertitudes sur la solution

Solution de non régression.

2.4 Références bibliographiques

- [1] F. Biasioli, G.Mancini, M.Just, M.Curbach, J.Walraven, S.Gmainer, J.Arrieta, R.Frank, C.Morin, F.Robert "EUROCODE 2: BACKGROUND & APPLICATIONS DESIGN OF CONCRETE BUILDINGS, worked examples"
- [2] Alain CAPRA, Jean-Francis MAURY "Calcul automatique du ferraillage optimal des plaques ou coques en béton armé"

Date: 05/05/2020 Page: 6/10 Révision Responsable: ESCOFFIER Florian Clé: V3.03.146

86ffa435e42b

Modélisation A 3

3.1 Caractéristiques de la modélisation

Pour les éléments surfaciques, on utilise des éléments DKT.

Pour les éléments linéiques, on utilise des éléments POU_D_E (Poutres d'Euler-Bernoulli).

3.2 Caractéristiques du maillage

Le maillage utilise des éléments triangulaires (9372) pour les surfaces et 2496 segments pour les poutres.

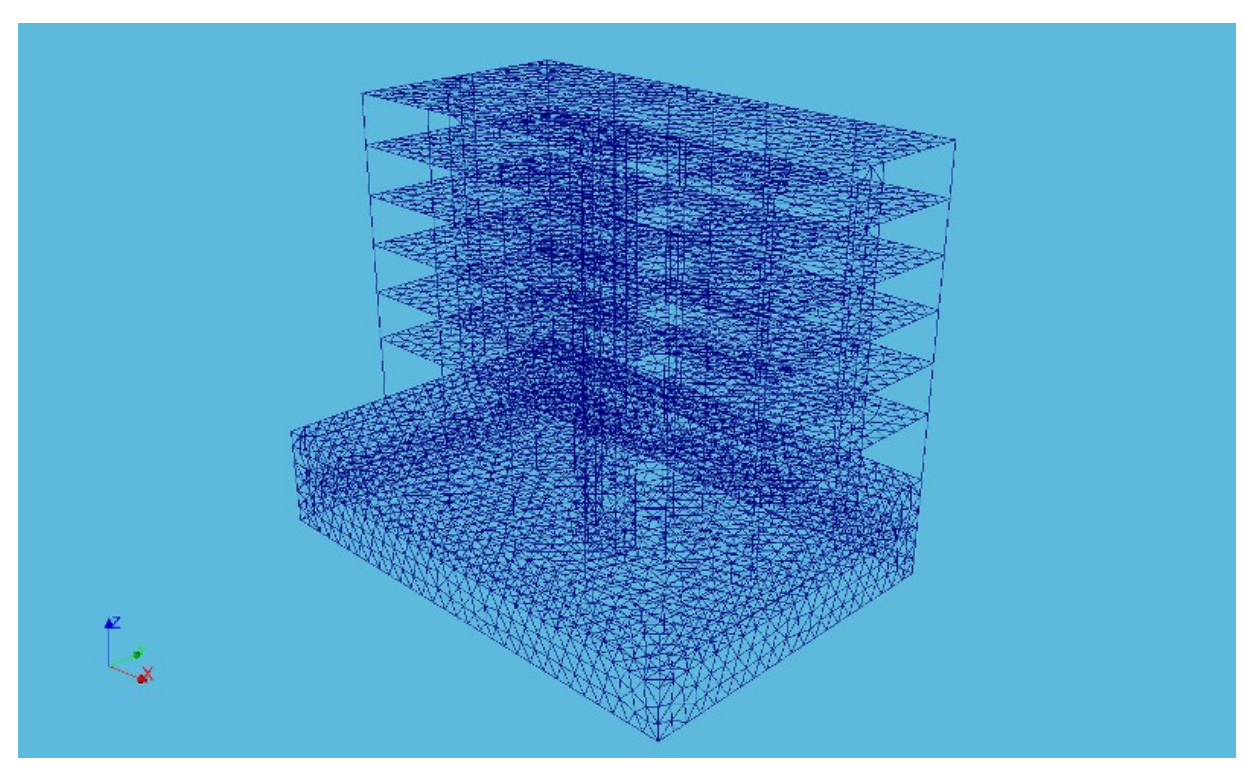


Figure 5: Maillage de la structure



Responsable : ESCOFFIER Florian

Date: 05/05/2020 Page: 7/10 Clé: V3.03.146 Révision

86ffa435e42b

3.3 Grandeurs testées et résultats

Les val eurs testées sont relatives à des maille s dans la même position de chaque plancher aux différents étages.

Identification	Type de référence
Maille M 3452 - DNSXS Cas 'COMB_DIME_ACIER'	'NON_REGRESSION'
Maille M 4511 - DNSXS Cas 'COMB_DIME_ACIER'	'NON_REGRESSION'
Maille M5114 - DNSXS Cas 'COMB_DIME_ACIER'	'NON_REGRESSION'
Maille M 5960 - DNSXS Cas 'COMB_DIME_ACIER'	'NON_REGRESSION'
Maille M 6815 - DNSXS Cas 'COMB_DIME_ACIER'	'NON_REGRESSION'
Maille M7652 - DNSXS Cas 'COMB_DIME_ACIER'	'NON_REGRESSION'
Maille M 8601 - DNSXS Cas 'COMB_DIME_ACIER'	'NON_REGRESSION'

On vérifie aussi que la combinaison dimensionnante est bien celle du cas correspondant à chaque plancher.

Identification	Type de référence	Valeur de référence	Tolérance
Maille M3452 Cas'COMB_DIME_ORDRE'	'ANALYTIQUE'	1	10 -6
Maille M 4511 Cas 'COMB_DIME_ORDRE'	'ANALYTIQUE'	2	10 -6
Maille M5114 Cas'COMB_DIME_ORDRE'	'ANALYTIQUE'	3	10 -6
Maille M5960 Cas 'COMB_DIME_ORDRE'	'ANALYTIQUE'	4	10 -6
Maille M 6815 Cas 'COMB_DIME_ORDRE'	'ANALYTIQUE'	5	10 -6
Maille M7652 Cas'COMB_DIME_ORDRE'	'ANALYTIQUE'	6	10 -6
Maille $M8601$ Cas'COMB_DIME_ORDRE'	'ANALYTIQUE'	7	10 -6

Date: 05/05/2020 Page: 8/10 Révision Responsable : ESCOFFIER Florian Clé: V3.03.146

86ffa435e42b

Synthèse des résultats 4

Les images montrent les ferraillages calculés pour les différents cas de chargement et pour la combinaison dimensionnante.

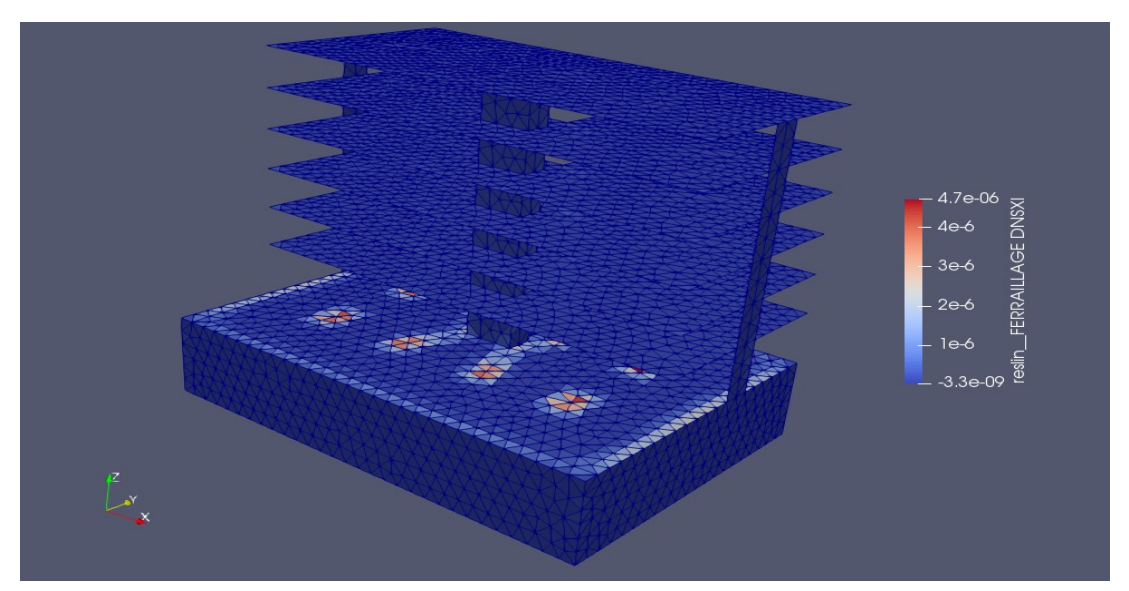


Figure 6: Densité de ferraillage DNSXI pour le cas 1

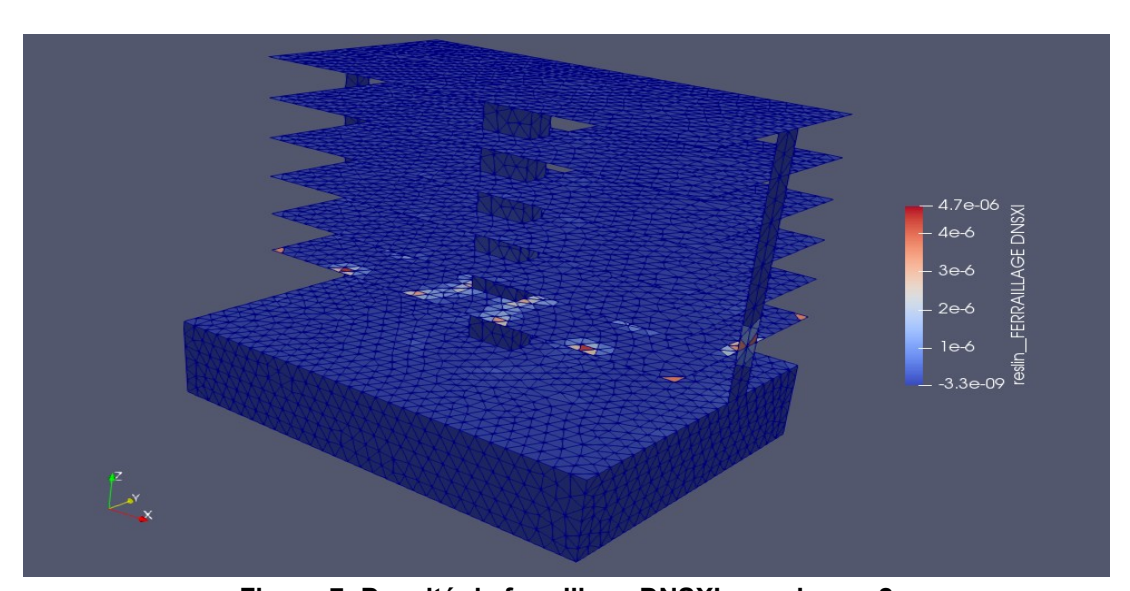


Figure 7: Densité de ferraillage DNSXI pour le cas 2

Responsable : ESCOFFIER Florian

Date : 05/05/2020 Page : 9/10 Clé : V3.03.146 Révision

86ffa435e42b

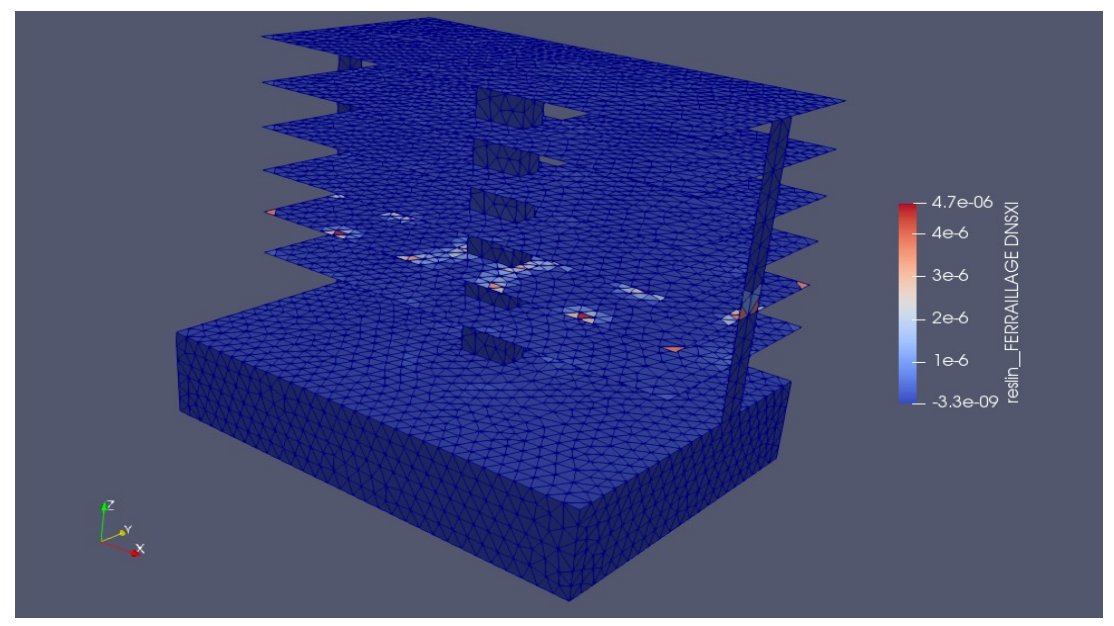


Figure 8: Densité de ferraillage DNSXI pour le cas 3

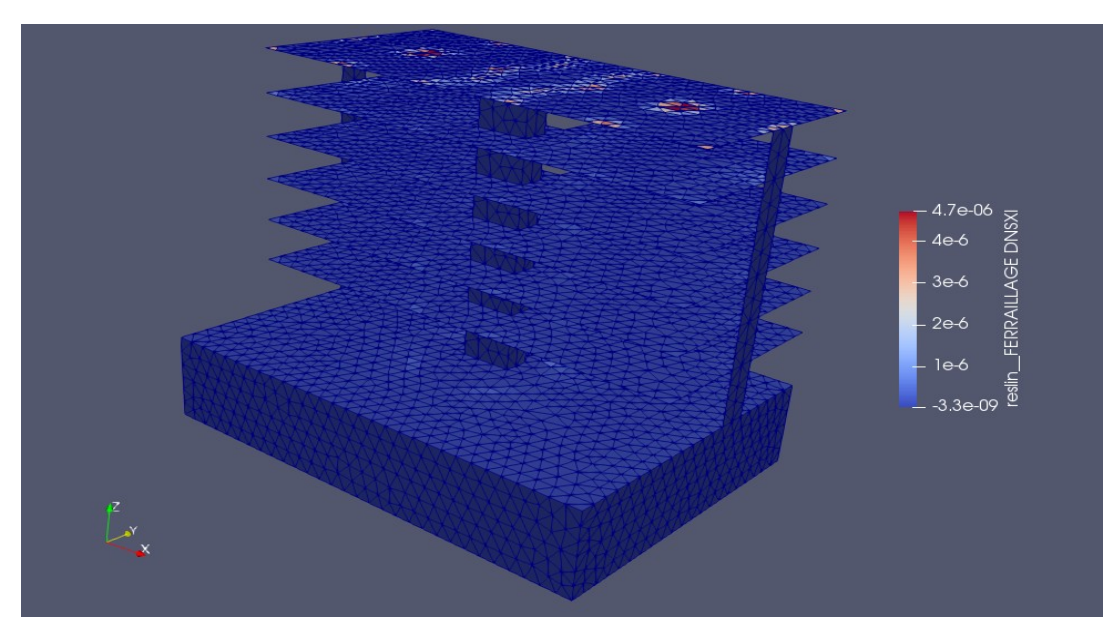


Figure 9: Densité de ferraillage DNSXI pour le cas 7

Responsable : ESCOFFIER Florian

Date : 05/05/2020 Page : 10/10 Clé : V3.03.146 Révision

86ffa435e42b

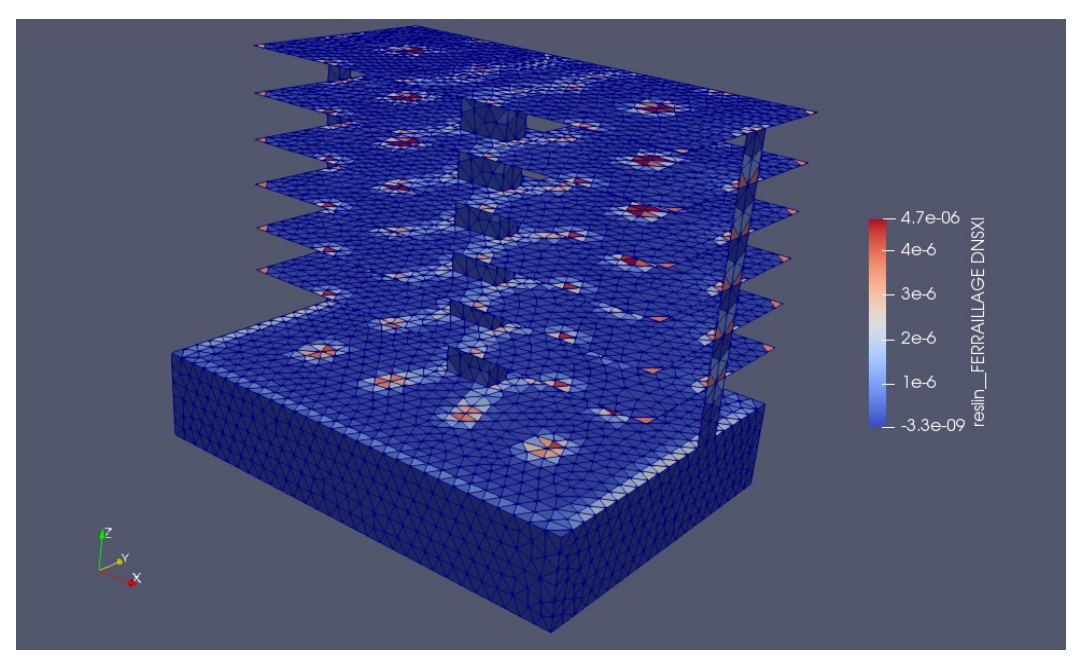


Figure 10: Densité de ferraillage DNSXI (combinaison dimensionnante)

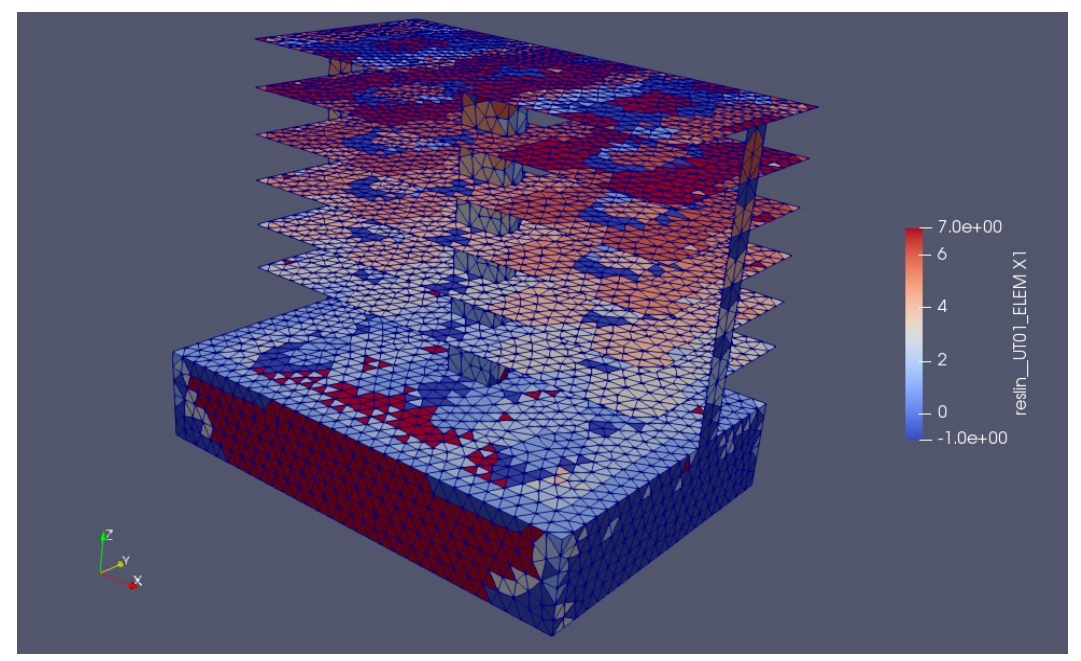


Figure 11: Numéro d'ordre de la combinaison dimensionnante